УДК 62-643;544.452

ЭКСПЕРИМЕНТАЛЬНОЕ ИССЛЕДОВАНИЕ ГОРЕНИЯ ЖИДКИХ УГЛЕВОДОРОДОВ В УСЛОВИЯХ ПАРОВОЙ ГАЗИФИКАЦИИ В ПРИСУТСТВИИ ГАЗА-РАЗБАВИТЕЛЯ

Е. П. Копьев¹, Е. Ю. Шадрин¹, И. С. Садкин¹, М. А. Мухина¹, С. Ю. Шимченко²

На примере дизельного топлива исследованы характеристики сжигания жидких углеводородов в присутствии смеси перегретого водяного пара с газом-разбавителем в горелочном устройстве испарительного типа. В качестве газа-разбавителя использовался углекислый газ. В ходе экспериментов найдены режимы подачи перегретого водяного пара или вместо него углекислого газа, а также их смеси в различных пропорциях, обеспечивающие схожий профиль средней температуры в пламени, значений тепловой мощности и коэффициента избытка воздуха. Показано, что при сжигании топлива в присутствии перегретого водяного пара, углекислого газа и их смеси достигаются низкие концентрации ${\rm CO}$ и ${\rm NO}_x$ в продуктах сгорания. При подаче ${\rm CO}_2$ эти значения находятся на границе допустимых концентраций для 3 класса по нормативу ${\rm EN}:267.$ В случае же подачи только перегретого водяного пара наблюдается более низкое содержание оксидов азота в уходящих газах по сравнению с углекислым газом: снижение концентрации ${\rm NO}_x$ достигает ${\rm 15}$ %.

Ключевые слова: жидкие углеводороды, горение, пар, газ-разбавитель, газовый анализ, полнота сгорания, NO_x .

DOI 10.15372/FGV20220408

ВВЕДЕНИЕ

Воздействие на окружающую среду и накопление углеводородных отходов стали причиной повышенного внимания к задачам, связанным с повышением эффективности сгорания углеводородных топлив и сокращением выбросов при производстве тепла и электроэнергии. Решение данного вопроса может быть реализовано различными способами. Одним из них является подход низкотемпературного сгорания. Основная идея этого подхода заключается в использовании системы рециркуляции выхлопных газов для уменьшения скорости химической реакции окисления вследствие снижения температуры горючей смеси [1]. Таким образом, воспламенение углеводородов в усло-

виях низких температур позволяет получить одновременно снижение выбросов NO_x и сажи $[2,\ 3].$ В работе [4] показано, что присутствие CO_2 в гептановоздушной смеси приводит к увеличению задержки воспламенения как первой стадии, так и второй при определенных концентрациях газа-разбавителя.

В качестве газа-разбавителя могут также использоваться вода или водяной пар. Известно, что вода и пар применяются на практике для решения целого ряда задач: от снижения тепловой нагрузки и подавления детонации [5] в камере сгорания до диспергирования тяжелых топлив и сжигания водотопливных эмульсий, а также эффективного снижения выбросов NO_x , для которых, как показано в [6], использование технологии впрыска пара эффективнее технологии рециркуляционных газов. Снижение выбросов NO_x обычно связывают с повышением теплоемкости смеси при горении водородовоздушной [7] и метановоздушной [8, 9] смесей, а также смеси пропан-бутана с воздухом [10]. В то же время в ряде работ [11] отмечают, что добавление водяного пара приводит

 $^{^1}$ Институт теплофизики им. С. С. Кутателадзе СО РАН, 630090 Новосибирск, kopyeve@itp.nsc.ru 2 Институт тепло- и массообмена им. А. В. Лыкова НАН Беларуси, 220072 Минск, Беларусь

Исследование выполнено при финансовой поддержке Российского фонда фундаментальных исследований совместно с Белорусским республиканским фондом фундаментальных исследований (проект № 20-58-04011). Расчет и подбор режимных параметров подачи смеси выполнены в рамках государственного задания ИТ СО РАН (АААА-121031800229-1).

[©] Копьев Е. П., Шадрин Е. Ю., Садкин И. С., Мухина М. А., Шимченко С. Ю., 2022.

не только к разбавлению горючей смеси (физический эффект), но и к изменению протекания некоторых элементарных реакций (химический эффект).

Ранее авторами работы были проведены исследования процессов горения некондиционных жидких углеводородных топлив и производственных отходов с подачей в зону горения струи перегретого водяного пара. Результаты по сжиганию дизельного топлива и отработанного машинного масла в разработанных перспективных прямоточных горелочных устройствах опубликованы в работах [12–14]. Использование перегретого водяного пара позволило снизить содержание оксидов азота в отработанных газах до 30 % при высокой полноте сжигания низкокачественного топлива. Такой эффект предположительно связан со снижением температуры пламени, за счет чего сокращается образование «термического» NO_x , а также связан с протеканием паровой газификации, что позволяет сохранить высокую полноту сжигания топлива. Данный способ сжигания является одним из перспективных путей утилизации низкокачественных топлив и производственных отходов, которые могут быть подвержены сжиганию: отходы нефтедобычи и нефтепереработки, отработанные масла, смазочные жидкости и др. Однако кинетика горения жидких углеводородов, особенно некондиционных, при впрыске пара остается малоизученной, точные механизмы до сих пор не раскрыты, что не позволяет проводить достоверные численные расчеты при проектировании горелочных устройств. В настоящей работе проведено изучение характеристик сжигания жидких углеводородов в присутствии смеси перегретого водяного пара с газом-разбавителем в горелочном устройстве испарительного типа.

1. ЭКСПЕРИМЕНТАЛЬНАЯ УСТАНОВКА И МЕТОДИКА ИЗМЕРЕНИЙ

Исследование проведено на лабораторном образце испарительного атмосферного горелочного устройства, схема которого показана на рис. 1. Основные части горелочного устройства: цилиндрический корпус, топочная камера с форкамерой, паровые форсунки, камера газогенерации и выходное сопло (материал — нержавеющая сталь). В нижней части топочной камеры имеются отверстия для естественного притока воздуха из атмосферы. Атмосферный воздух необходим для воспламенения



Рис. 1. Схема лабораторного испарительного атмосферного горелочного устройства, в котором реализован способ подачи перегретого водяного пара [13]

испаряющегося жидкого топлива в топочной камере. Устройство работает следующим образом. В топочную камеру подается топливо через топливопровод. В начальный момент времени топливо воспламеняется от внешнего пламени (от газовой горелки) и горит со свободной поверхности. В результате сжигание происходит со значительным недожогом — образуется большое количество сажи. В горелочном устройстве над топочной камерой у основания камеры газогенерации соосно установлены две паровые форсунки, соединенные с внешним парогенератором и ориентированные вертикально вверх и вниз. Из внешнего парогенератора подается перегретый водяной пар, который проходит через форсунки, и в результате образуются две высокоскоростные паровые струи, одна идет вниз в топочную камеру, другая вверх в камеру газогенерации. Подача струи пара вниз в топочную камеру позволяет повысить температуру элементов топки и предотвращает коксование поверхностей. При подаче вверх в камеру газогенерации струя пара взаимодействует с продуктами термического разложения и неполного сгорания горючего (газификация). Образующаяся горючая смесь догорает в факеле, смешиваясь с кислородом из внешней атмосферы. Более подробно работа устройства описана в [13].

Горелочное устройство монтировалось в экспериментальную установку, которая приме-

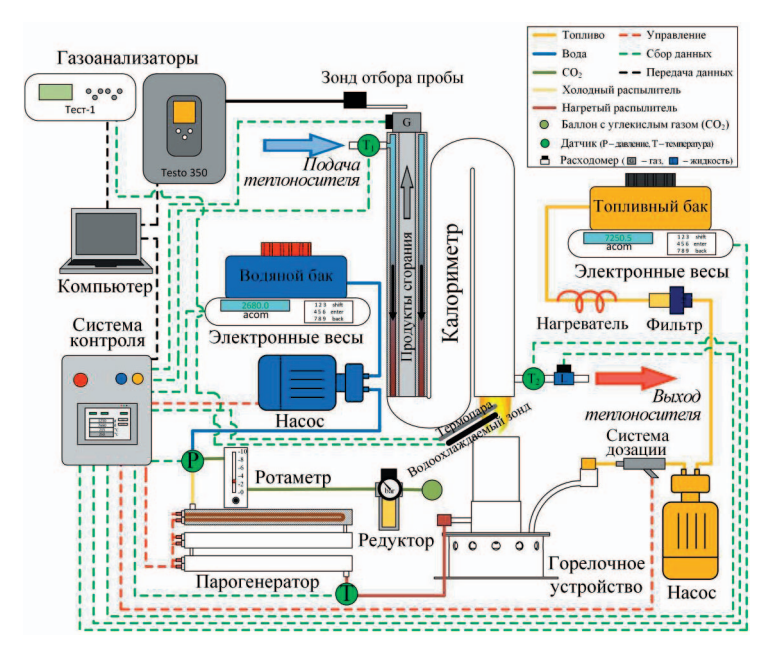


Рис. 2. Схема экспериментальной установки [13]

нялась авторами ранее в экспериментальных исследованиях тепловых и экологических показателей горелочных устройств различного типа [13–16]. Основными элементами стенда являются система подачи воды, электрический парогенератор, система подачи топлива, система подогрева топлива, горелочное устройство, калориметр и система газового анализа (рис. 2). Установка входит в состав уникальной установки УСУ «Крупномасштабный термогидродинамический стенд для исследования тепловых и газодинамических характеристик энергоустановок» [17]. Стабильный массовый расход топлива (до 2 кг/ч) задается топливной форсункой и насосом, масса контролируется при помощи электронных весов Асот PC-100W-10H (предел допускаемой погрешности 1 г). Для высоковязкого топлива используются системы подогрева (до 110 °C) и грубой очистки. Электрический парогенератор (средняя потребляемая мощность 1.5 кВт) позволяет на выходе получать перегретый водяной пар со следующими параметрами: температура до $550\,^{\circ}\mathrm{C}$, давление до $2\,\mathrm{M\Pi a}$, массовый расход до 1.4 кг/ч [18]. Стабильная подача воды в парогенератор обеспечивается плунжерным дозировочным насосом НД 0,5Р 1,6/100 К14А (класс точности 0.5), расход до 1.6 л/ч. Масса воды контролируется при помощи электронных весов Acom PC-100W-5 (предел допускаемой погрешности 0.5 г). Более подробно схема и принцип работы установки изложены в [13].

В качестве газа-разбавителя использовался углекислый газ, который подавался в парогенератор в месте подачи воды (см. рис. 2). Каналы парогенератора имеют прямоугольное сечение 4 × 2 мм, а их суммарная длина составляет 18 м [18], что обеспечивает однородность смешения перегретого пара и разбавителя. Таким образом обеспечивались режимы работы горелочного устройства, в которых перегретый водяной пар постепенно замещался углекислым газом с той же температурой и тем же местом подачи, что позволяло проводить сравнительный анализ работы горелочного устройства при различных разбавителях (перегретый пар, углекислый газ и их смесь).

В данной работе экспериментально исследовались следующие показатели процесса сжигания: температура факела, состав промежуточных и конечных продуктов сгорания, полнота сгорания топлива при различных режимах работы устройства.

Температура во внешнем факеле в плоскости симметрии горелки измерялась платинородий-платинородиевой термопарой (тип В). Рабочий спай термопары диаметром 0.3 мм перемещался при помощи автоматизированного координатно-перемещающего устройства (пространственный шаг 10 мм вдоль факела и 3 мм в радиальном направлении, время измерения в точке не менее

10 с, время задержки перед измерениями в точке 7 с).

Для проведения газового анализа промежуточных продуктов реакции в пламени горелки использовался газоанализатор Тест-1. Прибор позволяет регистрировать следующие компоненты (проценты даны по объему): СО $(0 \div 10 \%), H_2 (0 \div 40 \%), C_n H_m (0 \div 20 \%), CO_2$ $(0 \div 20 \%)$, O₂ $(0 \div 21 \%)$, NO $(0 \div 5000 \text{ ppm})$, $NO_2 \ (0 \div 3\,000 \ ppm)$. Погрешности измерения концентраций компонентов: $CO - \pm 0.2 \%$ (абс.) в диапазоне измеряемых значений C = $0 \div 5~\%$ и $\pm 5~\%$ (отн.) при C > 5~%; $\mathrm{H}_2 -\!\!\!- \pm 5~\%$ (отн.); $C_n H_m - \pm 0.2 \%$ (абс.) в диапазоне C = $0 \div 5 \%$ и $\pm 5 \%$ (отн.) при C > 5 %; CO_2 — $\pm 0.2~\%$ (абс.) в диапазоне $C=0\div 7~\%$ и $\pm 5~\%$ (отн.) при C > 7 %; $O_2 - \pm 0.2 \%$ (абс.); NO — ± 9 ppm (абс.) в диапазоне $C=0 \div 250$ ppm и ± 5 % (отн.) при C > 250 ppm; $NO_2 - \pm 10$ ppm (абс.) в диапазоне $C = 0 \div 300$ ppm и $\pm 5 \%$ (отн.) при C > 300 ppm.

Для контроля состава газообразных конечных продуктов горения (O₂, CO, NO, NO₂, SO₂, CO₂) использовался газоанализатор Testo 350 (погрешность измерения ±5 %). Забор проб продуктов реакции производился на выходе проточного калориметра, который использовался для определения полноты сгорания топлива в горелочном устройстве. Количество тепла определялось по разности температур теплоносителя на выходе и входе при заданном расходе (суммарная погрешность измерения ±2.5 %) [13].

2. РЕЗУЛЬТАТЫ ИЗМЕРЕНИЙ И ИХ АНАЛИЗ

Исследование характеристик пламени, тепловыделения, состава конечных продуктов сгорания проводилось при различных режимах работы горелочного устройства (табл. 1): при расходе пара $F_v = 0 \div 0.8$ кг/ч, расходе углекислого газа $F_{\mathrm{CO}_2}=0\div 1.3$ кг/ч и стабильном расходе топлива $F_f=0.8$ кг/ч (отклонения при регулировке от заданных средних значений расходов — в пределах $\pm 5~\%$ для пара и углекислого газа и $\pm 2.5~\%$ для топлива). Подбор параметров подаваемой газовой смеси осуществлялся исходя из того, что во всех рабочих режимах горелочного устройства импульс струи Y_{jet} должен быть одинаковым. Тем самым обеспечиваются схожие параметры горения, в том числе за счет подсоса воздуха из окружающей среды, создаваемого исходящими

 $T\,a\,6\,\pi\,u\,u\,a\,\,1$ Исследуемые режимы работы горелочного устройства при подаче перегретого водяного пара, углекислого газа и их смеси

Номер режима	$F_{\mathrm{CO}_2},$ кг/ч	$Y_{jet, \mathrm{CO}_2},$ H	$F_{ m H_2O}$ кг/ч	$Y_{jet, H_2O},$ H	$\Sigma Y_{jet}, \ \mathrm{H}$
1	0	0	0.8	0.198	0.198
2	0.33	0.048	0.6	0.148	0.196
3	0.63	0.098	0.4	0.098	0.196
4	0.95	0.146	0.2	0.050	0.196
5	1.27	0.198	0	0	0.198

из форсунок струями газа [15]. Температура подаваемой смеси $T_{v/{\rm CO}_2}$ устанавливалась $250~\pm~10~^{\circ}{\rm C}$. Для проведения исследований использовалось дизельное топливо.

При помощи термопарных измерений были получены профили средней температуры в пламени вдоль оси симметрии устройства (рис. 3). Во всех режимах профили имеют схожий вид. При добавлении перегретого водяного пара наблюдается небольшое снижение температуры пламени на ≈ 60 °C, что, в частности, связано с тем, что теплоемкость пара $(2.14 \, \text{кДж/(kr} \cdot \text{K)})$ больше, чем углекислого газа $(1.05 \, \text{кДж/(kr} \cdot \text{K)})$. Различие расходов при подаче только одного из типов разбавителей составило 1:1.6 соответственно (режимы 1 и 5,

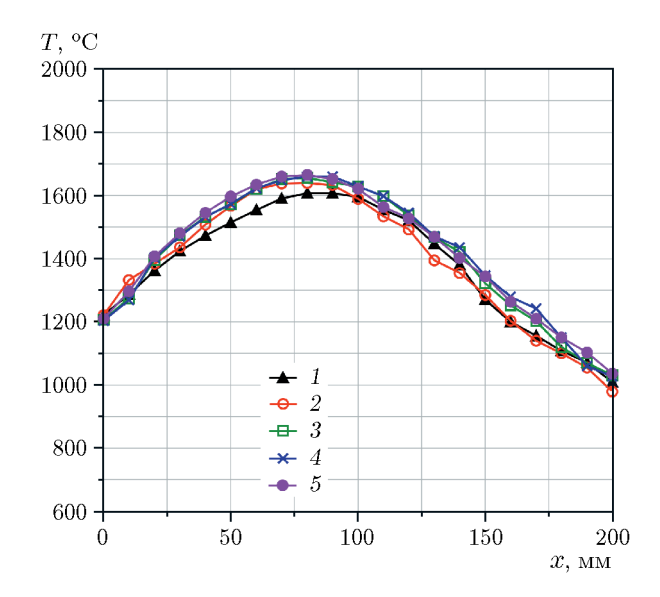


Рис. 3. Распределение средней температуры по оси симметрии пламени: номера режимов соответствуют номерам в табл. 1

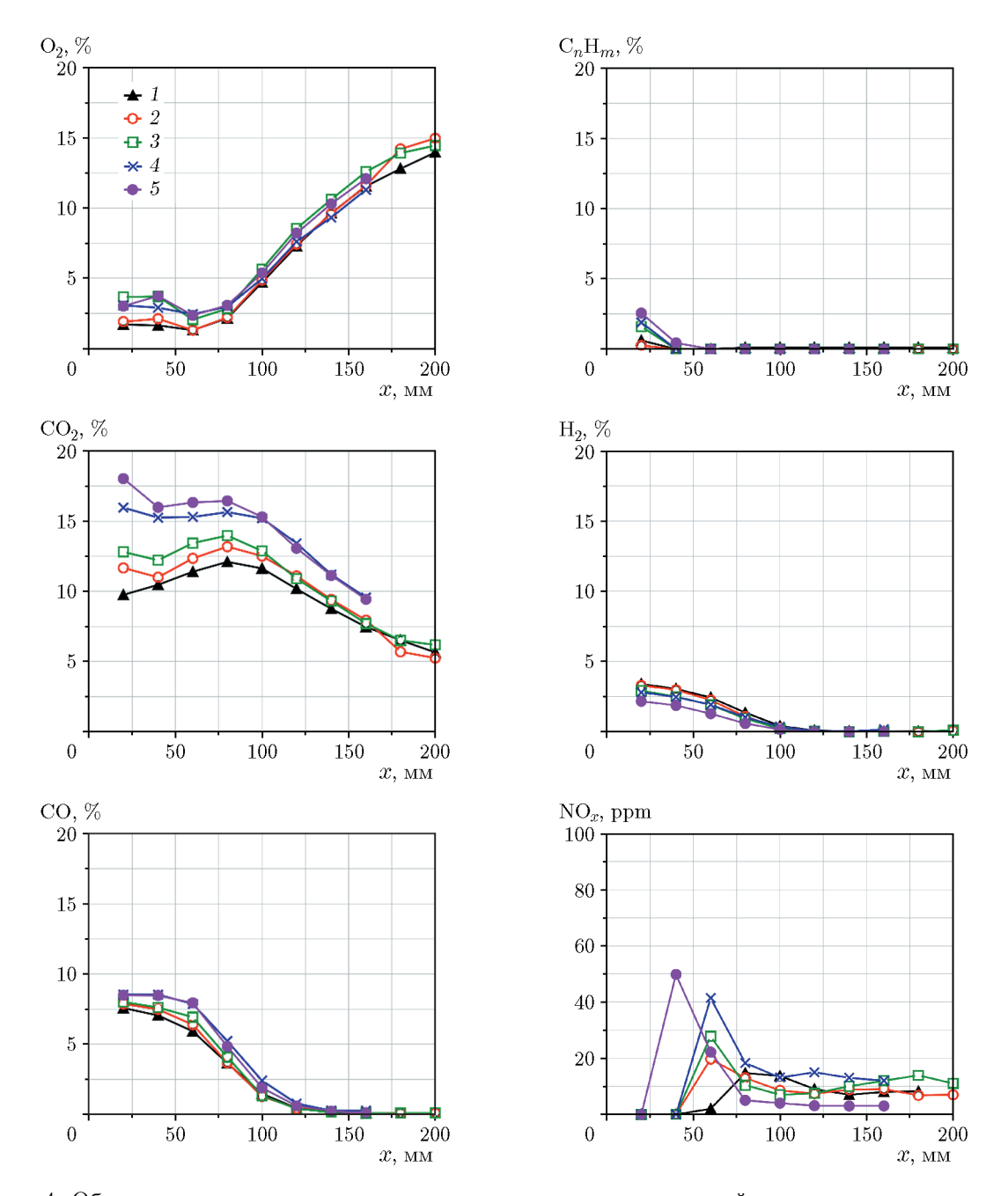


Рис. 4. Объемная доля компонентов в пламени вдоль вертикальной оси сопла горелочного устройства:

номера режимов соответствуют номерам в табл. 1

табл. 1). При этом схожесть профилей температуры свидетельствует о том, что замещение подачи пара нагретым углекислым газом не вносит значительных изменений в рабочий режим горелочного устройства. Для всех режимов максимум температуры $(1610 \div 1670~^{\circ}\text{C})$ достигается на некотором расстоянии от основания пламени, что говорит о доокислении про-

дуктов реакции по мере их выхода из камеры газогенерации горелочного устройства.

Результаты промежуточных газовых компонентов в пламени устройства (рис. 4) показывают, что при замещении перегретого пара углекислым газом наблюдается рост в основании пламени максимальных значений СО до 35 %, C_nH_m — в четыре раза и снижение H_2

до 60 %. Отмечается существенный рост (до $50~{
m ppm})$ максимальных значений ${
m NO}_x$ вдоль оси симметрии пламени. Схожие профили О2 указывают на то, что выбранные режимы подачи углекислого газа и его смеси с перегретым паром обеспечивают равный подсос и смешение с воздухом, как и в случае подачи только перегретого водяного пара. Однако у основания пламени концентрация О2 увеличивается по мере добавления углекислого газа в струю перегретого пара, что, вероятно, в совокупности с ростом содержания СО может быть связано с распадом СО₂ в камере газогенерации на монооксид углерода и кислород. Рост NO_x связан с более высокой температурой пламени и с увеличением содержания кислорода в основании пламени [19]. Более низкие концентрации $C_n H_m$ и H_2 в случае добавления перегретого водяного пара могут быть связаны с ускорением реакций, включающих радикал ОН [19], а также с паровой газификацией [13].

Результаты, полученные на проточном калориметре (табл. 2), показали, что для всех режимов обеспечивается высокая полнота сгорания топлива $Q \approx 44.5 \text{ МДж/кг}$, что в пределах погрешности близко к наивысшей теплоте сгорания дизельного топлива. Анализ же конечных продуктов сгорания демонстрирует, что массовое содержание СО в уходящих газах не зависит от состава подаваемой смеси (рис. 5). Однако при подаче только перегретого водяного пара (без добавления СО2) обеспечиваются лучшие показатели по содержанию оксидов азота. А именно, при увеличении доли углекислого газа в смеси наблюдается рост массового содержания NO_x в уходящих газах, отнесенного к 1 кг сжигаемого топлива. Рост NO_x составляет около 15 % при полном замещении перегретого водяного пара углекислым

 $\begin{tabular}{ll} $T\,a\,6\,\pi\,u\,\mu\,a\ 2$ \\ \hline \end{tabular}$ Полученные режимные параметры работы горелочного устройства

Номер режима	F_f , кг/ч	T, °C	Q, МДж/кг	$F_{air},$ м $^3/$ ч	α
1			44.5	13.4	1.29
2			44.6	13.7	1.32
3	0.8	250 ± 10	44.4	13.6	1.31
4			44.5	13.4	1.29
5			44.4	13.3	1.28

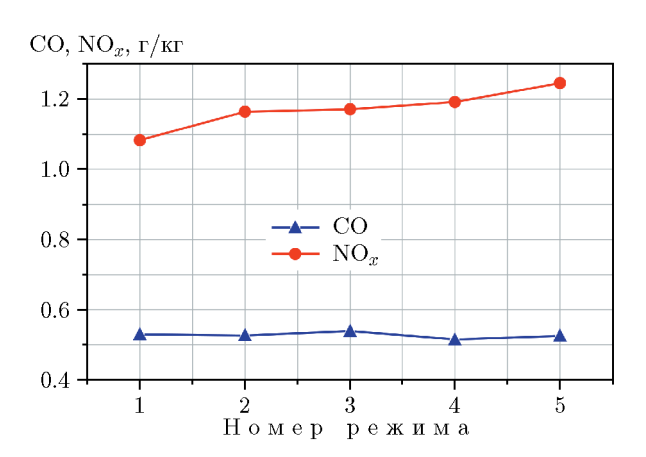


Рис. 5. Массовая доля ${\rm CO}$ и ${\rm NO}_x$ в конечных продуктах сгорания

газом, что связано как с более высокой температурой пламени, так и с увеличением количества кислорода в камере газогенерации у основания пламени, вызванных распадом CO_2 . По содержанию кислорода в конечных продуктах сгорания сделана оценка количества вовлеченного воздуха при сжигании топлива в различных режимах (F_{air} в табл. 2). Из табл. 2 видно, что выбранные расходы перегретого пара и углекислого газа обеспечивают одинаковые режимные параметры работы горелочного устройства, в частности коэффициент избытка воздуха α .

Из сопоставления полученных значений для различных режимов с нормативными по-казателями EN:267 [20] можно сделать вывод, что как для перегретого пара, так и для углекислого газа и их смеси полученные значения для монооксида углерода и оксидов азота удовлетворяют самому строгому 3 классу. Однако в случае подачи ${\rm CO_2}$ содержание оксидов азота близко к границе допустимых концентраций, что делает использование перегретого водяного пара предпочтительнее при варьировании рабочих параметров устройства для практических приложений.

ЗАКЛЮЧЕНИЕ

В работе на примере дизельного топлива проведено изучение характеристик сжигания жидких углеводородов в присутствии смеси перегретого водяного пара с газом-разбавителем в горелочном устройстве испарительного типа. В качестве газа-разбавителя использовался углекислый газ. Параметры подаваемой газовой смеси подбирались исходя из того, что для всех

рабочих режимов горелочного устройства импульс струи одинаков.

Показано, что при замещении перегретого водяного пара углекислым газом не наблюдается каких-либо значительных изменений в режимных параметрах горелочного устройства: тепловой мощности, коэффициенте избытка воздуха, профиле средней температуры в пламени вдоль оси симметрии устройства. Максимальное значение средней температуры в режимах с подачей только пара ниже, чем при подаче углекислого газа, на ≈60 °C, вследствие большей теплоемкости водяного пара. При анализе промежуточных компонентов в процессе горения топлива при различных параметрах подачи смеси вдоль оси симметрии пламени было отмечено, что при замещении перегретого пара углекислым газом наблюдается существенный рост максимальных значений содержания NO_x , а также увеличение концентраций СО и О2 в основании пламени, что вызвано более высокой температурой пламени, а также распадом СО2 на монооксид углерода и кислород в пламени горелочного устройства. В случае добавления перегретого водяного пара происходит снижение содержания C_nH_m и увеличение Н2, связанное с ускорением реакций с участием радикала ОН, а также с паровой газификацией.

Анализ состава уходящих газов показал, что при подаче только перегретого водяного пара содержание оксидов азота в уходящих газах ниже по сравнению с углекислым газом: снижение показателя NO_x достигает 15 %. Из сопоставления полученных значений монооксида углерода и оксидов азота для различных режимов с нормативными показателями EN:267 следует, что они удовлетворяют самому строгому 3 классу. Однако в случае подачи углекислоты содержание оксидов азота находится близко к границе допустимых концентраций класса, что делает использование перегретого водяного пара предпочтительнее при варьировании рабочих параметров устройства для практических приложений.

ЛИТЕРАТУРА

- 1. Lu X., Han D., Huang Z. Fuel design and management for the control of advanced compressionignition combustion modes // Prog. Energy Combust. Sci. 2011. V. 37, N 6. P. 741–783. DOI: 10.1016/J.PECS.2011.03.003.
- 2. Kook S., Bae C., Miles P. C., Choi D., Pickett L. M. The influence of charge dilution and

- injection timing on low-temperature diesel combustion and emissions // SAE Tech. Papers. 2005. DOI: 10.4271/2005-01-3837.
- 3. Yao M., Zheng Z., Liu H. Progress and recent trends in homogeneous charge compression ignition (HCCI) engines // Prog. Energy Combust. Sci. 2009. V. 35, N 5. P. 398–437. DOI: 10.1016/J.PECS.2009.05.001.
- 4. Liu Y., Sheng Y., Wei P., Zhang L., Yao S., Liu H., Sun H. The third body effect of carbon dioxide on *n*-heptane ignition delay characteristics under O₂/CO₂ conditions // Combust. Sci. Technol. 2021. DOI: 10.1080/00102202.2021.1893702.
- 5. Li A., Zheng Z., Peng T. Effect of water injection on the knock, combustion, and emissions of a direct injection gasoline engine // Fuel. 2020. V. 268. 117376. DOI: 10.1016/j.fuel.2020.117376.
- 6. Lee M. C., Seo S. B., Yoon J., Kim M., Yoon Y. Experimental study on the effect of N₂, CO₂, and steam dilution on the combustion performance of H₂ and CO synthetic gas in an industrial gas turbine // Fuel. 2012. V. 102. P. 431–438. DOI: 10.1016/j.fuel.2012.05.028.
- 7. Le Cong T., Dagaut P. Experimental and detailed modeling study of the effect of water vapor on the kinetics of combustion of hydrogen and natural gas, impact on NO_x // Energy Fuels. 2009. V. 23, N 2. P. 725–734. DOI: 10.1021/ef800832q.
- 8. Zou C., Song Y., Li G., Cao S., He Y., Zheng C. The chemical mechanism of steam's effect on the temperature in methane oxysteam combustion // Int. J. Heat Mass Transfer. 2014. N 75. P. 12–18. DOI: 10.1016/j.ijheatmasstransfer.2014.03.051.
- 9. Albin E., Nawroth H., Göke S., D'Angelo Y., Paschereit C. O. Experimental investigation of burning velocities of ultra-wet methane—air—steam mixtures // Fuel Process. Technol.—2013.— V. 107.— P. 27–35.— DOI: 10.1016/i.fuproc.2012.06.027.
- 10. Honzawa T., Kai R., Seino M., Nishiie T., Suzuki Y., Okada A., Wazaki K., Kurose R. Numerical and experimental investigations on turbulent combustion fields generated by large-scale submerged combustion vaporizer burners with water spray equipment // J. Nat. Gas Sci. Eng. 2020. V. 76. 103158. DOI: 10.1016/j.jngse.2020.103158.
- 11. Cui G., Dong Z., Wang S., Xing X., Shan T., Li Z. Effect of the water on the flame characteristics of methane hydrate combustion // Appl. Energy. 2020. V. 259. 114205. DOI: 10.1016/j.apenergy.2019.114205.
- 12. Алексеенко С. В., Ануфриев И. С., Вигриянов М. С., Копьев Е. П., Шарыпов О. В. Характеристики процесса сжигания дизельного топлива в горелочном устройстве с по-

- дачей струи перегретого водяного пара // Физика горения и взрыва. 2016. Т. 52, № 3. С. 37–44. DOI: 10.15375/FGV20160305.
- 13. Anufriev I. S., Alekseenko S. V., Sharypov O. V., Kopyev E. P. Diesel fuel combustion in a direct-flow evaporative burner with superheated steam supply // Fuel. 2019. V. 254. 115723. DOI: 10.1016/j.fuel.2019.115723.
- 14. Алексеенко С. В., Ануфриев И. С., Арсентьев С. С., Вигриянов М. С., Копьев Е. П., Шарыпов О. В. Влияние параметров перегретого водяного пара на процесс горения жидких углеводородов // Теплофизика и аэромеханика. 2019. Т. 26, № 1. С. 109–113.
- 15. Ануфриев И. С., Красинский Д. В., Шадрин Е. Ю., Копьев Е. П., Шарыпов О. В. Исследование структуры газового потока, истекающего из форсунки горелочного устройства распылительного типа // Теплофизика и аэромеханика. 2019. Т. 26, № 5. С. 703–718.
- 16. Anufriev I. S., Kopyev E. P., Sadkin I. S., Mukhina M. A. Diesel and waste oil combustion in a new steam burner with low NO_x emission // Fuel. 2021. V. 290. 120100. DOI: 10.1016/j.fuel.2020.120100.

- 17. УСУ «Крупномасштабный термогидродинамический стенд для исследования тепловых и газодинамических характеристик энергоустановок» [Электронный ресурс]. http://ckp-rf.ru/usu/73570/.
- 18. Пат. РФ № 2701970 от 02.10.2019. Электрический парогенератор / Копьев Е. П., Вигриянов М. С., Ануфриев И. С., Шарыпов О. В., Осинцев Я. А.
- Minakov A. V., Anufriev I. S., Kuznetsov V. A., Dekterev A. A., Kopyev E. P., Sharypov O. V. Combustion of liquid hydrocarbon fuel in an evaporative burner with forced supply of superheated steam and air to the reaction zone // Fuel. 2022. V. 309. 122181. DOI: 10.1016/j.fuel.2021.122181.
- 20. **Standard** DIN EN 267:2011-11. Automatic forced draught burners for liquid fuels.

Поступила в редакцию 19.01.2022. После доработки 15.02.2022. Принята к публикации 28.02.2022.